

Novembre 2015  
Communications numériques  
TS226



# *TS 226 : ADS-B*

Thibaut Gourdel  
Perrot Rémi  
[tgourdel@enseirb-matmeca.fr](mailto:tgourdel@enseirb-matmeca.fr)  
[rperrot@enseirb-matmeca.fr](mailto:rperrot@enseirb-matmeca.fr)

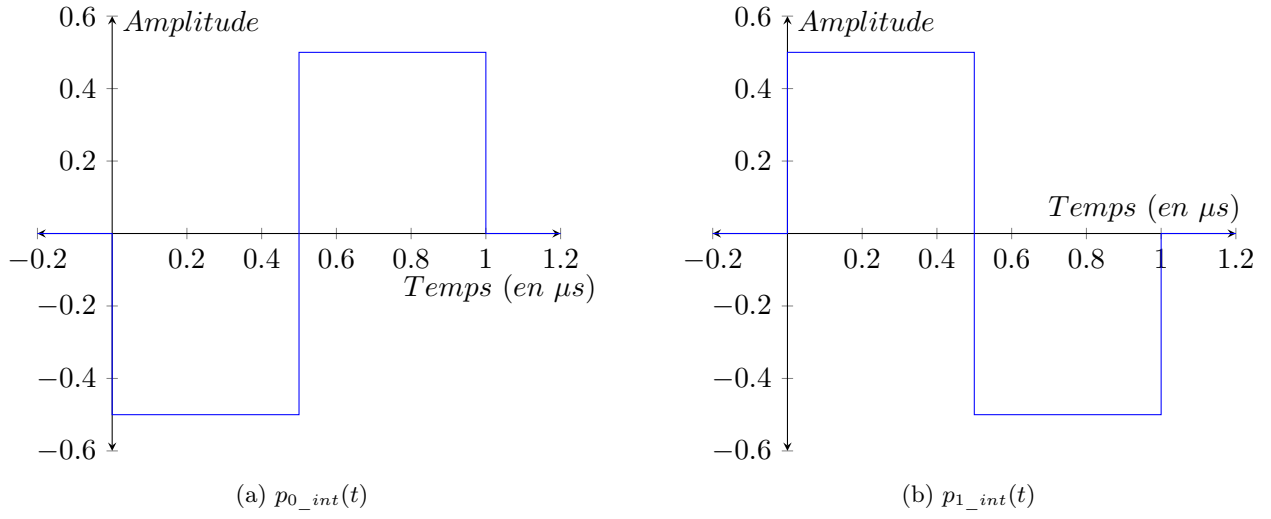


Figure 1: Représentation de  $p_{b_k\_int}(t)$

## Part I

# Couche physique ADS-B

## 1 Travail préliminaire

**Question 1** On a le signal  $s_l(t) = \sum_{k \in \mathbb{Z}} p_{b_k}(t - kT_s)$ , avec  $p_{b_k}(t)$  défini par  $p_0(t)$  pour  $b_k = 0$ , et  $p_1(t)$  pour  $b_k = 1$ .

Soit les fonctions intermédiaires :

$$p_{0\_int}(t) = p_0(t) \quad (1)$$

$$p_{1\_int}(t) = p_1(t) \quad (2)$$

On obtient les fonctions de la figure 1.

Ainsi, on peut définir la fonction  $s_{int}(t)$ , elle aussi intermédiaire :

$$\begin{aligned} s_{int}(t) &= s_l(t) - 0,5 = \left( \sum_{k \in \mathbb{Z}} p_{b_k}(t - kT_s) \right) - 0,5 \\ &= \sum_{k \in \mathbb{Z}} p_{b_k\_int}(t - kT_s) \end{aligned} \quad (3)$$

On remarque aux sous-figures de la figure 1 que :

$$\begin{cases} \text{Pour } b_k=0 & \rightarrow p_{0\_int}(t) = p(t) \\ \text{Pour } b_k=1 & \rightarrow p_{1\_int}(t) = -p(t) \end{cases} \quad (4)$$

Grâce aux symboles  $A_k$

$$A_k = \begin{cases} 1 & \text{pour } b_k = 0 \\ -1 & \text{pour } b_k = 1 \end{cases}$$

On peut directement remplacer dans l'équation 3  $p_{b_k\_int}(t)$  par  $p(t)$ , en utilisant  $A_k$  :

```
// TODO : Add 1e +0.5
```

Figure 2: Architecture pour une modulation avec  $s_l(t) - 0,5$

```
(a)
//TODO
:
Juste
wait-
ing
for
a
sub-
float
```

$$s_{int}(t) = \sum_{k \in \mathbb{Z}} A_k p(t - kT_s) \quad (5)$$

Soit finalement  $s_l(t) = s_{int}(t) + 0,5 = 0,5 + \sum_{k \in \mathbb{Z}} A_k p(t - kT_s)$ .

**Modulation obtenue :** La modulation obtenue avec  $s_l(t)$  nous mets face à un code biphasé (Manchester), standardisé par l'IEEE 802.3<sup>1</sup>. Ce code est lié à une modulation en bande de base : PSK, Phase Shift Keying, où le signal est un signal carré (plutôt que - habituellement - une sinusoïde).

Avec ce code, la modulation est effectuée en faisant une convolution entre les symboles  $A_k$  et le filtre  $p(t)$ .

Pour retrouver les bits d'entrées, on peut donc convoluer avec le filtre adapté  $p^*(-t)$ . Cela a pour effet de créer une sorte de signal triangulaire, dont les points aux moments d'échantillonnage correspondent aux symboles. Voir figure 2.

**Remarque** Il faut garder à l'esprit que cette modulation fonctionne pour  $s_l(t) - 0,5$ , pour l'implémenter dans Matlab il faudra soustraire 0,5 au signal  $s_l(t)$ .

**Question 2**  $p_0^*(-t)$  et  $p_1^*(-t)$  sont, respectivement, les filtres de mise en forme de  $p_0(t)$  et  $p_1(t)$ . Ce sont les filtres adaptés ; l'utilisation de tels filtres permet de maximiser le SNR (Signal-to-Noise Ratio).

De ce fait, on minimise la probabilité qu'il y ait une erreur binaire.

**Question 3** On calcule les convolutions entre chaque filtre, pour prouver le fait qu'ils vérifient les critères de Nyquist.

```
// TODO (soit graphiquement, soit calculatoirement)
```

**Question 4** Calculons le moment d'ordre 1 du signal  $s_l(t)$ .

On peut sortir, dans 6,  $p(t - kT_s)$  puisqu'elle n'est pas aléatoire.

$$\begin{aligned} m_{s_l}(t) &= E[s_l(t)] = E\left[0,5 + \sum_{k \in \mathbb{Z}} A_k p(t - kT_s)\right] \\ &= 0,5 + \sum_{k \in \mathbb{Z}} E[A_k] p(t - kT_s) \end{aligned} \quad (6)$$

$$= 0,5 = m_{s_l} \quad (7)$$

---

<sup>1</sup><http://docwiki.cisco.com>

$m_{s_l}(t)$  ne dépend donc pas de  $t$ , et de plus  $m_{s_l}$  est égal à 0,5 (puisque  $E[A_k] = 0$ ).

**Question 5** Calcul de la fonction d'autocorrélation.

À la ligne 8, on peut enlever le terme de conjugué (\*), puisque le signal est réel.

$$R_{s_l}(t, \tau) = E[s_l(t)s_l^*(t + \tau)] \quad (8)$$

$$\begin{aligned} &= E \left[ \left( 0,5 + \sum_{k \in Z} A_k p(t - kT_s) \right) \left( 0,5 + \sum_{k' \in Z} A_{k'} p(t + \tau - k'T_s) \right) \right] \\ &= E \left[ 0,25 + \sum_k \sum_{k'} A_k A_{k'} p(t - kT_s) p(t + \tau - k'T_s) \right. \\ &\quad \left. + 0,5 \sum_{k \in Z} A_k p(t - kT_s) + 0,5 \sum_{k' \in Z} A_{k'} p(t + \tau - k'T_s) \right] \\ &\quad \underbrace{\hspace{10em}}_{=0, \text{ puisque } E[A_k]=0} \\ &= 0,25 + \sum_k \sum_{k'} E[A_k A_{k'}] p(t - kT_s) p(t + \tau - k'T_s) \end{aligned} \quad (9)$$

Lorsque  $k \neq k'$ , on a  $E[A_k A_{k'}] = E[A_k] E[A_{k'}] = 0$ , et donc  $R_{s_l}(t, \tau) = 0,25$ . Par contre, pour  $k = k'$ , on est face à  $E[A_k^2]$ , la variance des  $A_k$  ( $\sigma^2$ ). Soit :

$$\boxed{R_{s_l}(t, \tau) = 0,25 + \sum_k \sigma^2 p(t - kT_s) p(t + \tau - kT_s)} \quad (10)$$

À noter que la variance  $\sigma^2$  est égale à 1.

**Question 6** On utilise les résultats des questions précédentes pour prouver la cyclostationnarité.

Un processus aléatoire  $x(t)$  est cyclo-stationnaire, avec  $T_s$  la période de cyclo-stationnarité, lorsque  $R_{xx}(t + T_s, \tau) = R_{xx}(t, \tau)$ . Soit, dans notre cas :

$$R_{s_l}(t + T_s, \tau) = E \left[ \left( 0,5 + \sum_{k \in Z} A_k p(t + T_s - kT_s) \right) \left( 0,5 + \sum_{k' \in Z} A_{k'} p(t + T_s + \tau - k'T_s) \right) \right] \quad (11)$$

Il suffit alors, dans l'équation 11, de faire le changement de valeur suivant :  $k = k - 1$  et  $k' = k' - 1$ . On trouve ainsi la relation :

$$\boxed{R_{s_l}(t + T_s, \tau) = R_{s_l}(t, \tau)} \quad (12)$$

Le processus est donc cyclo-stationnaire de période  $T_s$  (temps symbole).

**Question 7** La formule de l'autocorrélation moyennée d'un signal  $s_l(t)$  est donnée ci-après :

$$\tilde{R}_{s_l}(\tau) = \frac{1}{T_s} \int_0^{T_s} R_{s_l}(t, \tau) dt \quad (13)$$

Soit, en développant (on rappelle que le symbole du conjugué disparaît en raison de la nature réelle du signal) :

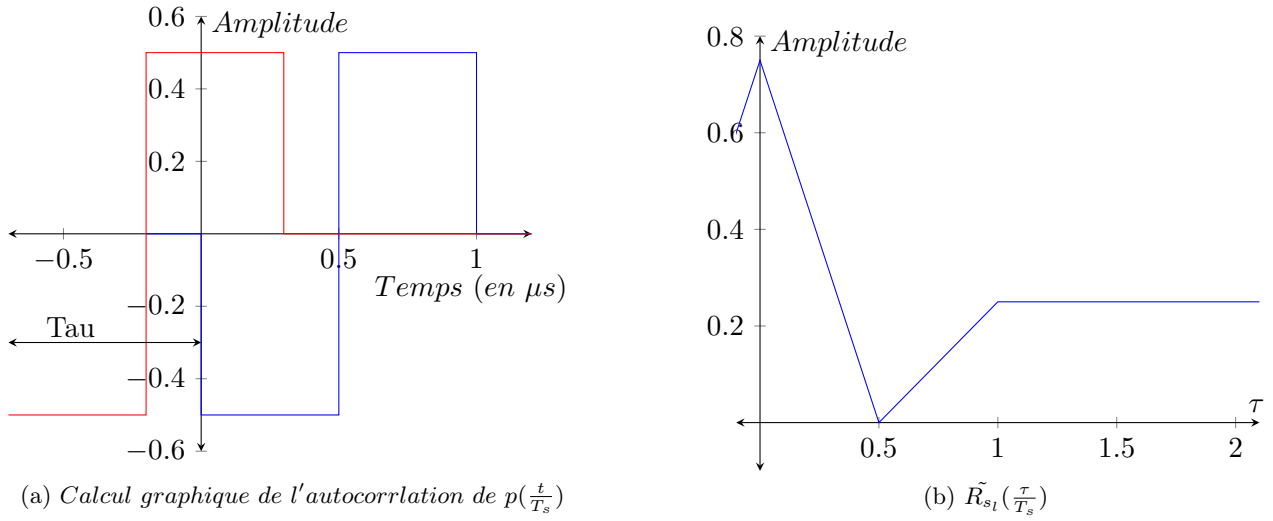


Figure 3: Calcul graphique de l'autocorrélation moyennée

$$\begin{aligned}
\tilde{R}_{s_l}(\tau) &= \frac{1}{T_s} \int_0^{T_s} \left( 0,25 + \sum_k p(t - kT_s)p(t + \tau - kT_s) \right) dt \\
&= \frac{1}{T_s} \left( 0,25T_s + \int_0^{T_s} \sum_k p(t - kT_s)p(t + \tau - kT_s) \right) dt \\
&= 0,25 + \frac{1}{T_s} \sum_k \int_0^{T_s} p(t - kT_s)p(t + \tau - kT_s) dt
\end{aligned} \tag{14}$$

On pose  $\nu = t - kT_s$ . Ainsi, en remplaçant à la ligne 14 :

$$\begin{aligned}
\tilde{R}_{s_l}(\tau) &= 0,25 + \frac{1}{T_s} \sum_k \int_{-kT_s}^{(-k+1)T_s} p(\nu)p(\nu + \tau) d\nu \\
&= 0,25 + \frac{1}{T_s} \int_R p(\nu)p(\nu + \tau) d\nu
\end{aligned} \tag{15}$$

En observant la ligne 15, on remarque qu'il y a la présence de la fonction d'autocorrélation de  $p$  :  $R_{pp}(\tau) = \int_R p(\nu)p^*(\nu + \tau) d\nu$ . Ainsi :

$$\boxed{\tilde{R}_{s_l}(\tau) = 0,25 + \frac{1}{T_s} R_{pp}(\tau)} \tag{16}$$

Tout d'abord, calculons la fonction d'autocorrélation de  $p(t/T_s)$ . Graphiquement, on trouve l'autocorrélation de la fonction (voir figure 3.a). On prend  $t/T_s$  pour pouvoir gérer tous les  $T_s$ , même si dans notre exemple  $T_s = 1$ . En la moyennant par  $T_s$  (le temps symbole donné dans l'énoncé correspond à  $1\mu s$ ), puis en ajoutant 0,25, on trouve finalement la représentation de  $\tilde{R}_{s_l}(\tau)$ , présentée figure 3.b.

**Question 8** En utilisant la formule donnée dans l'énoncé, on trouve :

$$\begin{aligned}
\Gamma_{s_l}(f) &= \int_R \tilde{R}_{s_l}(\tau) e^{-j2\pi f\tau} d\tau \\
&= \int_R [0, 25 + \frac{1}{T_s} R_p(\tau) e^{-j2\pi f\tau}] d\tau \\
&= \int_R 0.25 e^{-j2\pi f\tau} d\tau + \frac{1}{T_s} \int_R R_p(\tau) e^{-j2\pi f\tau} d\tau \\
&= 0.25\delta(f) + \frac{1}{T_s} |P(f)|^2
\end{aligned} \tag{17}$$

On remplace la transformée de Fourier de  $R_p(\tau)$  par le module au carré de la transformée de Fourier de  $p(t)$  dans l'équation 17, en utilisant le théorème de Wiener Khintchine.

Il nous reste donc à calculer  $P(f)$ .

$p(t)$  est la combinaison de deux portes (on prend bien garde à ne pas oublier  $T_s$ ) :  $p(t) = -0.5 \times \Pi_{0.5T_s}(t - \frac{T_s}{4}) + 0.5 \times \Pi_{0.5T_s}(t - \frac{3T_s}{4})$ . On rappelle la transformée de Fourier d'une porte :

$$\mathcal{F}(\Pi_T(t)) = T \text{sinc}(\nu T) \tag{18}$$

On définit le sinus cardinal comme :  $\text{sinc}(x) = \frac{\sin(\pi x)}{\pi x}$ .

Ainsi :

$$\begin{aligned}
|P(f)|^2 &= |\mathcal{F}(-0.5 \times \Pi_{0.5T_s}(t - T_s/4) + 0.5 \times \Pi_{0.5T_s}(t - 3T_s/4))|^2 \\
&= \left| 0.5T_s \times \left( -0.5 \text{sinc}(0.5T_s \times f) \times \exp(-i2\pi f \times \frac{T_s}{4}) \right. \right. \\
&\quad \left. \left. + 0.5 \text{sinc}(0.5T_s \times f) \times \exp(-i2\pi f \times \frac{3T_s}{4}) \right) \right|^2 \\
&= \left| 0.25T_s \text{sinc}(0.5T_s \times f) \left( \exp(-i\pi f \times \frac{3T_s}{2}) - \exp(-i2\pi f \times \frac{T_s}{2}) \right) \right|^2 \\
&= \left| \frac{T_s \text{sinc}(0.5T_s \times f)}{4} \left( e^{-i\pi f T_s} (e^{-i\pi f \times 0.5T_s} - e^{+i\pi f \times 0.5T_s}) \right) \right|^2
\end{aligned} \tag{19}$$

$$= \left| \frac{T_s \text{sinc}(0.5T_s \times f)}{4} \left( e^{-i\pi f T_s} \times \sin(\frac{1}{2}\pi f T_s) \times 2i \right) \right|^2 \tag{20}$$

Pour passer de 19 à 20, on utilise la formule d'Euler :  $\frac{e^{ix} - e^{-ix}}{2i} = \sin(x)$ . On remarque qu'à la ligne 20, on peut remplacer le module de l'exponentielle par 1. De même,  $|i| = 1$ . Soit finalement :

$$\begin{aligned}
|P(f)|^2 &= \left( \frac{T_s}{2} \text{sinc}(\frac{T_s f}{2}) \times \sin(\frac{T_s f \pi}{2}) \right)^2 \\
&= \left( \frac{T_s^2 f \pi}{4} \times \text{sinc}^2(\frac{T_s f}{2}) \right)^2 \\
&= \frac{T_s^4 (f \pi)^2}{16} \times \text{sinc}^4(\frac{T_s f}{2})
\end{aligned} \tag{21}$$

D'où, ainsi, l'expression de la densité spectrale de puissance de  $s_l(t)$ , en 22 :

$$\Gamma_{s_l}(f) = 0.25\delta(f) + \frac{1}{T_s} \left( \frac{T_s^4 (f \pi)^2}{16} \times \text{sinc}^4(\frac{T_s f}{2}) \right)$$

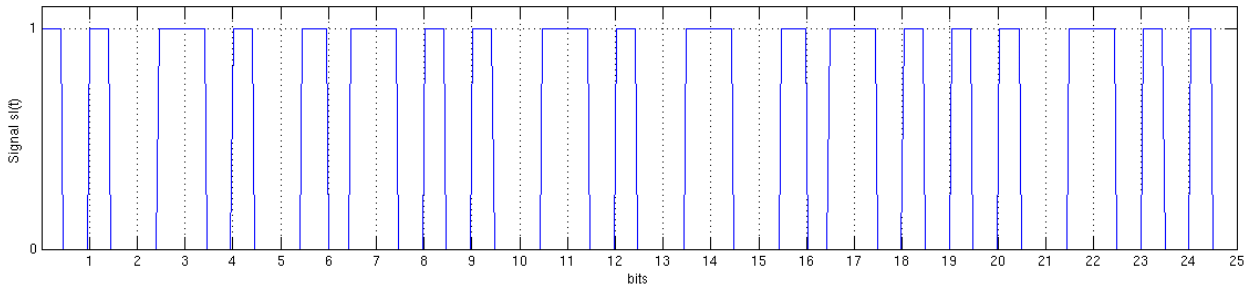


Figure 4:  $s_l(t)$  sur les 25 premiers bits

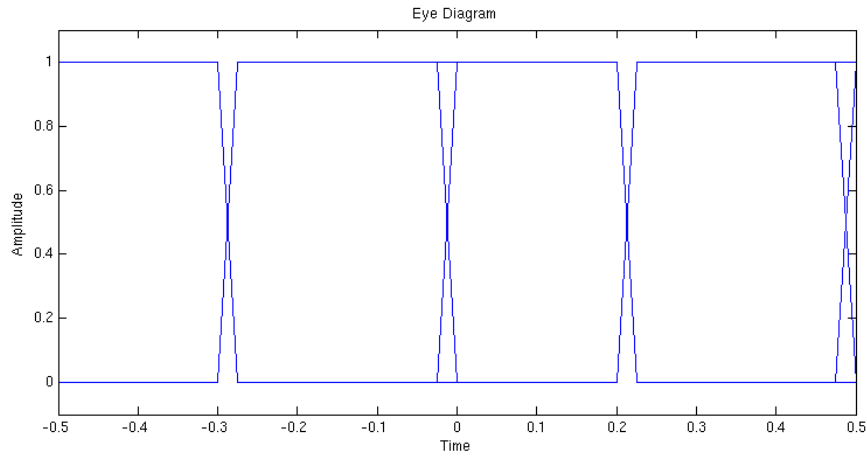


Figure 5: Diagramme de l'œil de  $s_l(t)$ , d'une durée de  $2T_s$ , des 100 premiers bits

$$\Gamma_{s_l}(f) = 0.25\delta(f) + \frac{T_s^3 (f\pi)^2}{16} \times \text{sinc}^4\left(\frac{T_s f}{2}\right) \quad (22)$$

### Question 9

**Question 11**  $s_l(t)$  sur les 25 premier bits est représenté figure 4.

À noter que, pour sélectionner les 25 premiers bits, il faut prendre en compte le suréchantillonnage. On prend donc les  $25 \times \frac{T_s}{T_e}$  premiers éléments du vecteur.

**Question 12** Le diagramme de l'œil de  $s_l(t)$  est présenté à la figure 5.

**Question 13** On trace la densité spectrale de puissance théorique de  $s_l(t)$  sans fenêtre ni chevauchement.